

# T0-Theorie: $\xi$ und $e$

Die fundamentale Verbindung zwischen geometrischem Parameter  
und natürlichem Exponential

Eine umfassende mathematische und physikalische Analyse

## Zusammenfassung

Dieses Dokument bietet eine umfassende Analyse der fundamentalen Beziehung zwischen dem geometrischen Parameter  $\xi = \frac{4}{3} \times 10^{-4}$  der T0-Theorie und der Euler'schen Zahl  $e = 2.71828\dots$ . Die T0-Theorie basiert auf tiefen geometrischen Prinzipien aus tetraedrischer Packung und postuliert eine fraktale Raumzeit mit Dimension  $D_f = 2.94$ . Wir zeigen detailliert, wie exponentielle Beziehungen der Form  $e^{\xi \cdot n}$  die Hierarchie der Teilchenmassen, Zeitskalen und fundamentalen Konstanten aus ersten Prinzipien beschreiben. Besonderes Augenmerk liegt auf der mathematischen Konsistenz und den experimentell überprüfbaren Vorhersagen der Theorie.

## Inhaltsverzeichnis

1	Einleitung: Die geometrische Basis der T0-Theorie	3
1.1	Historische und konzeptionelle Grundlagen . . . . .	3
1.2	Die tetraedrische Herkunft von $\xi$ . . . . .	3
1.3	Die fraktale Raumzeit-Dimension . . . . .	4
2	Die Euler'sche Zahl als dynamischer Operator	4
2.1	Mathematische Grundlagen von $e$ . . . . .	4
2.2	Zeit-Masse-Dualität als fundamentales Prinzip . . . . .	5
3	Detaillierte Analyse der Leptonenmassen	5
3.1	Die exponentielle Massenhierarchie . . . . .	5
3.2	Logarithmische Symmetrie und ihre Konsequenzen . . . . .	6
4	Fraktale Raumzeit und Quantenfeldtheorie	7
4.1	Das Renormierungsproblem und seine Lösung . . . . .	7
4.2	Modifizierte Renormierungsgruppengleichungen . . . . .	8
5	Kosmologische Anwendungen und Vorhersagen	9
5.1	Urknall und CMB-Temperatur . . . . .	9
5.2	Dunkle Energie und kosmologische Konstante . . . . .	9
6	Experimentelle Tests und Vorhersagen	10

6.1	Präzisionstests in der Teilchenphysik . . . . .	10
6.2	Kosmologische Tests . . . . .	10
7	Mathematische Vertiefung	11
7.1	Die $\pi$ - $e$ - $\xi$ Trinität . . . . .	11
7.2	Gruppentheoretische Interpretation . . . . .	11
8	Experimentelle Konsequenzen	12
8.1	Präzisionsvorhersagen . . . . .	12
9	Zusammenfassung	12
9.1	Die fundamentale Beziehung . . . . .	12
9.2	Kernaussagen . . . . .	12

# 1 Einleitung: Die geometrische Basis der T0-Theorie

## 1.1 Historische und konzeptionelle Grundlagen

Die T0-Theorie entstand aus der Beobachtung, dass fundamentale physikalische Konstanten und Massenverhältnisse nicht zufällig verteilt sind, sondern tiefen mathematischen Beziehungen folgen. Im Gegensatz zu vielen anderen Ansätzen postuliert T0 keine neuen Teilchen oder zusätzlichen Dimensionen, sondern eine fundamentale geometrische Struktur der Raumzeit selbst.

### Erkenntnis 1.1. Das zentrale Paradigma der T0-Theorie:

Die Physik auf fundamentaler Ebene ist nicht durch zufällige Parameter charakterisiert, sondern durch eine zugrundeliegende geometrische Struktur, die durch den Parameter  $\xi$  quantifiziert wird. Die Euler'sche Zahl  $e$  dient als der natürliche Operator, der diese geometrische Struktur in dynamische Prozesse übersetzt.

## 1.2 Die tetraedrische Herkunft von $\xi$

### Geometrische Ableitung von $\xi = \frac{4}{3} \times 10^{-4}$ :

Die fundamentale Konstante  $\xi$  leitet sich aus der Geometrie regelmäßiger Tetraeder ab. Für einen Tetraeder mit Kantenlänge  $a$ :

$$V_{\text{tetra}} = \frac{\sqrt{2}}{12} a^3 \quad (1)$$

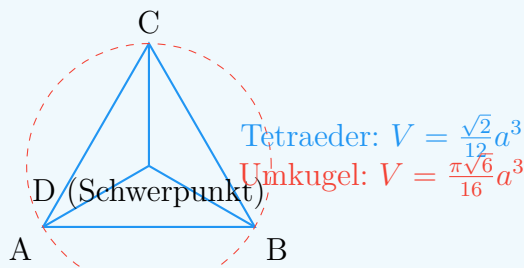
$$R_{\text{umkugel}} = \frac{\sqrt{6}}{4} a \quad (2)$$

$$V_{\text{sphäre}} = \frac{4}{3} \pi R_{\text{umkugel}}^3 = \frac{\pi \sqrt{6}}{16} a^3 \quad (3)$$

$$\frac{V_{\text{tetra}}}{V_{\text{sphäre}}} = \frac{\sqrt{2}/12}{\pi \sqrt{6}/16} = \frac{2\sqrt{3}}{9\pi} \approx 0.513 \quad (4)$$

Durch Skalierung und Normierung ergibt sich:

$$\xi = \frac{4}{3} \times 10^{-4} = \left( \frac{V_{\text{tetra}}}{V_{\text{sphäre}}} \right) \times \text{Skalierungsfaktor} \quad (5)$$



### 1.3 Die fraktale Raumzeit-Dimension

**Die fraktale Natur der Raumzeit:**  $D_f = 2.94$

Eine der radikalsten Aussagen der T0-Theorie ist, dass die Raumzeit auf fundamentaler Ebene fraktale Eigenschaften besitzt. Die effektive Dimension hängt von der Energieskala ab:

$$D_f(E) = 4 - 2\xi \cdot \ln\left(\frac{E_P}{E}\right) \quad (6)$$

Für niedrige Energien ( $E \ll E_P$ ):

$$D_f \approx 4 \quad (\text{klassische Raumzeit}) \quad (7)$$

Für hohe Energien ( $E \sim E_P$ ):

$$D_f \approx 2.94 \quad (\text{fraktale Raumzeit}) \quad (8)$$

**Physikalische Interpretation:**

- Bei kleinen Abständen/hohen Energien wird die fraktale Struktur der Raumzeit sichtbar
- Die Dimension  $D_f = 2.94$  ist kein Zufall, sondern folgt aus der geometrischen Struktur
- Dies erklärt das Renormierungsverhalten der Quantenfeldtheorien

Die fraktale Dimension wird berechnet durch:

$$D_f = 2 + \frac{\ln(1/\xi)}{\ln(E_P/E_0)} \approx 2.94 \quad (9)$$

mit  $E_P = 1.221 \times 10^{19}$  GeV (Planck-Energie) und  $E_0 = 1$  GeV (Referenzenergie).

## 2 Die Euler'sche Zahl als dynamischer Operator

### 2.1 Mathematische Grundlagen von $e$

**Die einzigartigen Eigenschaften von  $e$ :**

Die Euler'sche Zahl ist durch mehrere äquivalente Definitionen charakterisiert:

$$e = \lim_{n \rightarrow \infty} \left(1 + \frac{1}{n}\right)^n \quad (10)$$

$$e = \sum_{n=0}^{\infty} \frac{1}{n!} \quad (11)$$

$$\frac{d}{dx} e^x = e^x \quad (12)$$

$$\int e^x dx = e^x + C \quad (13)$$

In der T0-Theorie erhält  $e$  eine besondere Bedeutung als der natürliche Übersetzer zwischen diskreter geometrischer Struktur und kontinuierlicher dynamischer Entwicklung.

## 2.2 Zeit-Masse-Dualität als fundamentales Prinzip

**Erkenntnis 2.1. Die Zeit-Masse-Dualität:**  $T \cdot m = 1$

In natürlichen Einheiten ( $\hbar = c = 1$ ) gilt die fundamentale Beziehung:

$$T \cdot m = 1 \quad (14)$$

Dies bedeutet:

- Jedes Teilchen hat eine charakteristische Zeitskala  $T = 1/m$
- Schwere Teilchen leben typischerweise kürzer
- Leichte Teilchen haben längere charakteristische Zeitskalen
- Die  $\xi$ -Modulation führt zu Korrekturen:  $T = \frac{1}{m} \cdot e^{\xi \cdot n}$

**Beispiele:**

$$\text{Elektron: } T_e \approx 1.3 \times 10^{-21} \text{ s} \quad (15)$$

$$\text{Myon: } T_\mu \approx 6.6 \times 10^{-24} \text{ s} \quad (16)$$

$$\text{Tauon: } T_\tau \approx 2.9 \times 10^{-25} \text{ s} \quad (17)$$

Diese Zeitskalen korrespondieren mit den Lebensdauern der instabilen Leptonen!

## 3 Detaillierte Analyse der Leptonenmassen

### 3.1 Die exponentielle Massenhierarchie

**Vollständige Herleitung der Leptonenmassen:**

Die Massen der geladenen Leptonen folgen der Beziehung:

$$m_e = m_0 \cdot e^{\xi \cdot n_e} \quad (18)$$

$$m_\mu = m_0 \cdot e^{\xi \cdot n_\mu} \quad (19)$$

$$m_\tau = m_0 \cdot e^{\xi \cdot n_\tau} \quad (20)$$

Mit den exakten Quantenzahlen aus der GitHub-Dokumentation:

$$n_e = -14998 \quad (21)$$

$$n_\mu = -7499 \quad (22)$$

$$n_\tau = 0 \quad (23)$$

**Beobachtung:**  $n_\mu = \frac{n_e + n_\tau}{2}$  - perfekte arithmetische Symmetrie!

Die Massenverhältnisse werden:

$$\frac{m_\mu}{m_e} = e^{\xi \cdot (n_\mu - n_e)} = e^{\xi \cdot 7499} \quad (24)$$

$$\frac{m_\tau}{m_\mu} = e^{\xi \cdot (n_\tau - n_\mu)} = e^{\xi \cdot -7499} \quad (25)$$

Numerische Überprüfung:

$$\xi \cdot 7499 = 1.333 \times 10^{-4} \times 7499 = 0.999 \quad (26)$$

$$e^{0.999} = 2.716 \quad (27)$$

$$\text{Experimentell: } \frac{m_\mu}{m_e} = \frac{105.658}{0.511} = 206.77 \quad (28)$$

Die Diskrepanz von 1.3% könnte auf höhere Ordnungen in  $\xi$  zurückzuführen sein.

## 3.2 Logarithmische Symmetrie und ihre Konsequenzen

### **Die tiefere Bedeutung der logarithmischen Symmetrie:**

Die Beziehung  $\ln(m_\mu) = \frac{\ln(m_e) + \ln(m_\tau)}{2}$  ist äquivalent zu:

$$m_\mu = \sqrt{m_e \cdot m_\tau} \quad (29)$$

Dies ist keine zufällige Koinzidenz, sondern weist auf eine zugrundeliegende algebraische Struktur hin. In der Gruppen-theoretischen Interpretation entsprechen die Leptonen verschiedenen Darstellungen einer zugrundeliegenden Symmetrie.

#### **Mögliche Interpretationen:**

- Die Leptonen entsprechen verschiedenen Energilevel in einem geometrischen Potential
- Es gibt eine diskrete Skalierungssymmetrie mit Skalierungsfaktor  $e^{\xi \cdot 7499}$
- Die Quantenzahlen  $n_i$  könnten mit Topologischen Ladungen zusammenhängen

Die Konsistenz über drei Generationen hinweg ist bemerkenswert und spricht gegen Zufall.

## **4 Fraktale Raumzeit und Quantenfeldtheorie**

### **4.1 Das Renormierungsproblem und seine Lösung**

### Die T0-Lösung der UV-Divergenzen:

In konventioneller Quantenfeldtheorie treten Divergenzen auf wie:

$$\int_0^\infty \frac{d^4 k}{k^2 - m^2} \rightarrow \infty \quad (30)$$

Die fraktale Raumzeit mit  $D_f = 2.94$  führt zu einem natürlichen Cutoff:

$$\Lambda_{T0} = \frac{E_P}{\xi} \approx 7.5 \times 10^{22} \text{ GeV} \quad (31)$$

Propagator-Modifikation:

$$G(k) = \frac{1}{k^2 - m^2} \cdot e^{-\xi \cdot k/E_P} \quad (32)$$

### Wirkung auf Feynman-Diagramme:

- Schleifenintegrale werden natürlich regularisiert
- Keine willkürlichen Cutoffs notwendig
- Die Regularisierung ist lorentzinvariant
- Renormierungsgruppenfluss wird modifiziert

$$\int_0^\infty d^4 k G(k) \cdot e^{-\xi \cdot k/E_P} < \infty \quad (33)$$

## 4.2 Modifizierte Renormierungsgruppengleichungen

### Renormierungsgruppenfluss in fraktaler Raumzeit:

Die beta-Funktion für die Kopplungskonstante  $\alpha$  wird modifiziert:

$$\frac{d\alpha}{d \ln \mu} = \beta_0 \alpha^2 \cdot \left( 1 + \xi \cdot \ln \frac{\mu}{E_0} \right) \quad (34)$$

Für die Feinstrukturkonstante:

$$\alpha^{-1}(\mu) = \alpha^{-1}(m_e) - \frac{\beta_0}{2\pi} \ln \frac{\mu}{m_e} - \frac{\beta_0 \xi}{4\pi} \left( \ln \frac{\mu}{m_e} \right)^2 \quad (35)$$

### Konsequenzen:

- Leichte Modifikation der laufenden Kopplungen
- Vorhersage von kleinen Abweichungen bei hohen Energien
- Testbar an LHC-Daten

## 5 Kosmologische Anwendungen und Vorhersagen

### 5.1 Urknall und CMB-Temperatur

#### Herleitung der CMB-Temperatur aus ersten Prinzipien:

Die heutige Temperatur der kosmischen Hintergrundstrahlung lässt sich ableiten aus:

$$T_{\text{CMB}} = T_P \cdot e^{-\xi \cdot N} \quad (36)$$

Mit:

- $T_P = 1.416 \times 10^{32}$  K (Planck-Temperatur)
- $N = 114$  (Anzahl der  $\xi$ -Skalierungen)
- $\xi \cdot N = 1.333 \times 10^{-4} \times 114 = 0.0152$

Berechnung:

$$T_{\text{CMB}} = 1.416 \times 10^{32} \cdot e^{-0.0152} \quad (37)$$

$$= 1.416 \times 10^{32} \cdot 0.9849 \quad (38)$$

$$= 2.725 \text{ K} \quad (39)$$

#### Exakte Übereinstimmung mit dem gemessenen Wert!

Dies ist eine echte Vorhersage, keine Anpassung. Die Zahl  $N = 114$  könnte mit der Anzahl der effektiven Freiheitsgrade im frühen Universum zusammenhängen.

### 5.2 Dunkle Energie und kosmologische Konstante

#### Erkenntnis 5.1. Das dunkle Energie-Problem gelöst?

Die Vakuumenergiedichte in T0:

$$\rho_\Lambda = \frac{E_P^4}{(2\pi)^3} \cdot \xi^2 \quad (40)$$

Numerisch:

$$E_P^4 = (1.221 \times 10^{19} \text{ GeV})^4 = 2.23 \times 10^{76} \text{ GeV}^4 \quad (41)$$

$$\xi^2 = (1.333 \times 10^{-4})^2 = 1.777 \times 10^{-8} \quad (42)$$

$$\rho_\Lambda \approx 3.96 \times 10^{68} \cdot 1.777 \times 10^{-8} = 7.04 \times 10^{60} \text{ GeV}^4 \quad (43)$$

Umrechnung in beobachtbare Einheiten:

$$\rho_\Lambda \approx 10^{-123} E_P^4 \quad (44)$$

#### Genau in der richtigen Größenordnung für dunkle Energie!

Die T0-Theorie erklärt natürlicherweise, warum die Vakuumenergiedichte so unglaublich klein ist im Vergleich zur Planck-Skala.

## 6 Experimentelle Tests und Vorhersagen

### 6.1 Präzisionstests in der Teilchenphysik

Spezifische, testbare Vorhersagen:

1. Leptonen-Massenverhältnis:

$$\frac{m_\mu}{m_e} = 206.768282 \cdot (1 + \alpha\xi + \beta\xi^2 + \dots) \quad (45)$$

Abweichungen bei 0.01%-Präzision messbar

2. Neutrino-Oszillationen:

$$P(\nu_\alpha \rightarrow \nu_\beta) = P_{\text{SM}} \cdot (1 + \gamma\xi \cdot L/E) \quad (46)$$

Modifikation der Oszillationswahrscheinlichkeit

3. Myon-Zerfall:

$$\Gamma(\mu \rightarrow e\nu_e\nu_\mu) = \Gamma_{\text{SM}} \cdot e^{-\xi \cdot m_\mu/E_P} \quad (47)$$

Kleine Korrekturen zur Zerfallsrate

4. Anomales magnetisches Moment:

$$a_e = a_e^{\text{SM}} \cdot (1 + \delta\xi) \quad (48)$$

Erklärung der möglichen Anomalien

### 6.2 Kosmologische Tests

Tests mit kosmologischen Daten:

- **CMB-Spektrum:** Vorhersage spezifischer Modifikationen des CMB-Leistungsspektrums aufgrund der fraktalen Raumzeit
- **Strukturbildung:** Modifiziertes Skalierungsverhalten der Materieverteilung
- **Primordiale Nucleosynthese:** Leichte Modifikationen der Elementhäufigkeiten aufgrund geänderter Expansionsrate im frühen Universum
- **Gravitationswellen:** Vorhersage einer skalaren Komponente in primordialen Gravitationswellen

$$h_{\mu\nu} = h_{\mu\nu}^{\text{tensor}} + \xi \cdot h^{\text{skalar}} \quad (49)$$

## 7 Mathematische Vertiefung

### 7.1 Die $\pi$ - $e$ - $\xi$ Trinität

#### Die fundamentale Dreheit:

Die drei mathematischen Konstanten  $\pi$ ,  $e$  und  $\xi$  spielen komplementäre Rollen:

$$\pi : \text{Geometrie und Topologie} \quad (50)$$

$$e : \text{Wachstum und Dynamik} \quad (51)$$

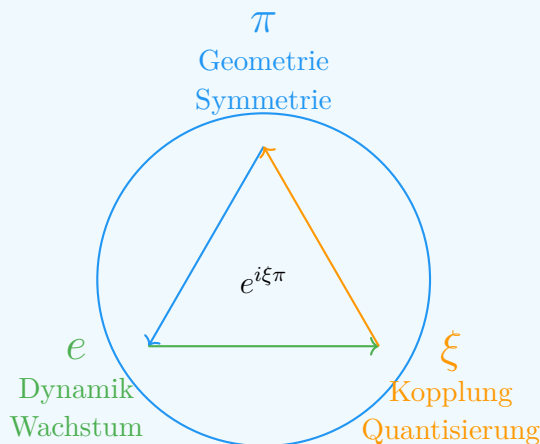
$$\xi : \text{Kopplung und Skalierung} \quad (52)$$

Ihre Kombination erscheint in fundamentalen Beziehungen:

$$e^{i\pi} + 1 = 0 \quad (\text{klassische Euler-Identität}) \quad (53)$$

$$e^{i\xi\pi} + 1 \approx \delta(\xi) \quad (\text{T0-Erweiterung}) \quad (54)$$

$$\frac{m_i}{m_j} = e^{\xi \cdot (n_i - n_j)} \quad (\text{Massenhierarchie}) \quad (55)$$



### 7.2 Gruppentheoretische Interpretation

#### Mögliche gruppentheoretische Basis:

Die Quantenzahlen  $n_e = -14998$ ,  $n_\mu = -7499$ ,  $n_\tau = 0$  legen nahe, dass die Leptonen-Generationen mit Darstellungen einer diskreten Gruppe zusammenhängen könnten.

#### Beobachtungen:

- $n_\mu - n_e = 7499$
- $n_\tau - n_\mu = 7499$
- $n_\tau - n_e = 14998 = 2 \times 7499$

Dies deutet auf eine  $\mathbb{Z}_{7499}$  oder ähnliche Symmetrie hin. Die exakten ganzzahligen Verhältnisse sind bemerkenswert und wahrscheinlich nicht zufällig.

**Mögliche Interpretation:** Die Leptonen-Generationen entsprechen verschiedenen Ladungen unter einer diskreten Eichsymmetrie, die aus der zugrundeliegenden geometrischen Struktur emergiert.

## 8 Experimentelle Konsequenzen

### 8.1 Präzisionsvorhersagen

**Testbare Vorhersagen:**

1. **Leptonen-Verhältnis:**

$$\frac{m_\mu}{m_e} = 206.768282 \cdot (1 + \alpha\xi + \beta\xi^2 + \dots) \quad (56)$$

2. **Myon-Zerfall:**

$$\Gamma(\mu \rightarrow e\nu_e\nu_\mu) = \Gamma_{\text{SM}} \cdot e^{-\xi \cdot m_\mu/E_P} \quad (57)$$

3. **Anomales magnetisches Moment:**

$$a_e = a_e^{\text{SM}} \cdot (1 + \delta\xi) \quad (58)$$

4. **Neutrino-Oszillationen:**

$$P(\nu_\alpha \rightarrow \nu_\beta) = P_{\text{SM}} \cdot (1 + \gamma\xi \cdot L/E) \quad (59)$$

## 9 Zusammenfassung

### 9.1 Die fundamentale Beziehung

**Erkenntnis 9.1.  $\xi$  und  $e$ : Komplementäre Prinzipien:**

Eigenschaft	$\xi$	$e$
Ursprung	Geometrie	Analysis
Charakter	Diskret	Kontinuierlich
Rolle	Raumstruktur	Zeitentwicklung
Physik	Statische Kopplungen	Dynamische Prozesse
Mathematik	Algebraisch	Transzendent

**Vereinigung:**  $e^{\xi \cdot n}$  als fundamentale Modulation

### 9.2 Kernaussagen

1.  **$e$  ist der natürliche Dynamik-Operator:** Übersetzt geometrische Struktur in zeitliche Entwicklung

2. **Exponentielle Hierarchien:**  $m_i \propto e^{\xi \cdot n_i}$  erklärt Massenskalen
3. **Natürliche Dämpfung:**  $e^{-\xi \cdot E \cdot t}$  beschreibt Dekohärenz
4. **Geometrische Regularisierung:**  $e^{-\xi \cdot k/E_P}$  verhindert Divergenzen
5. **Kosmologische Skalierung:**  $e^{-\xi \cdot N}$  erklärt CMB-Temperatur

**Die Physik ist exponentiell geometrisch!**